

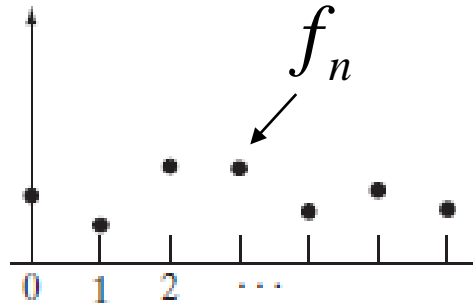
Dipartimento di Informatica
Università di Verona
A.A. 2018-19

Elaborazione dei Segnali e Immagini

Elaborazione di
immagini: rinforzo nel
dominio delle
frequenze

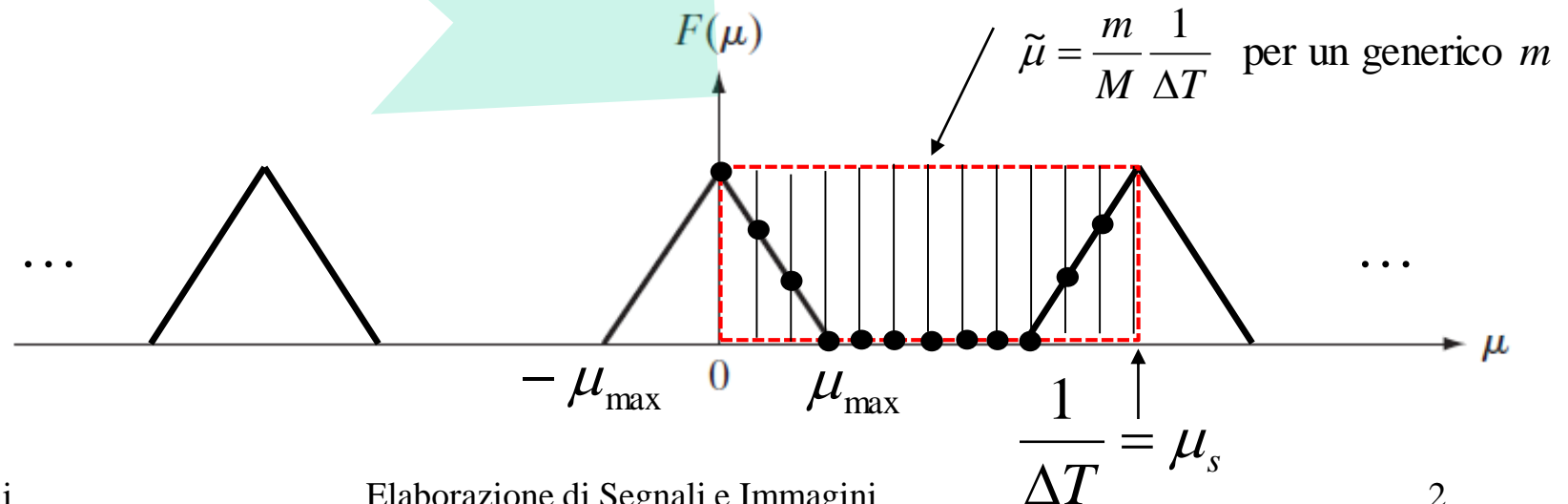
Gonzalez Cap.4

Ripasso: DFT 1D

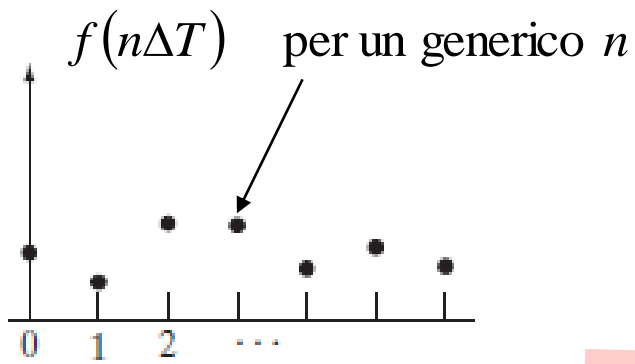


- Prima di passare al filtraggio in frequenza, un richiamo alla DFT

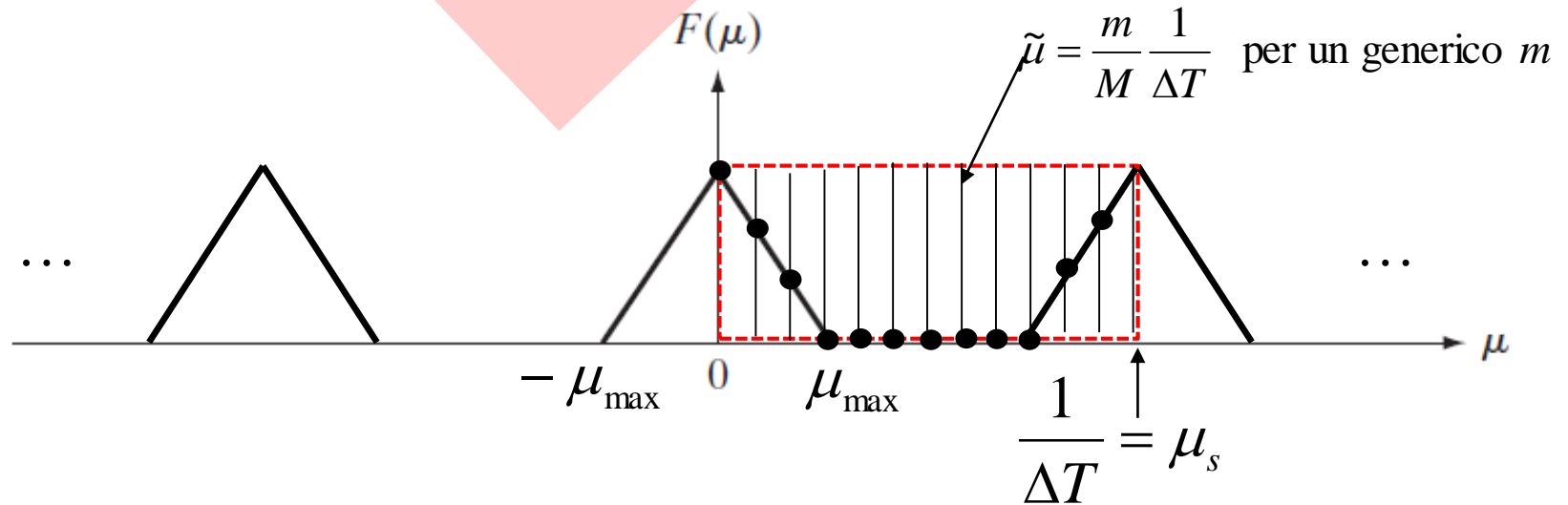
$$\tilde{F}\left(\frac{m}{M} \frac{1}{\Delta T}\right) = F\left(\frac{m}{M} \frac{1}{\Delta T}\right) = F_m = \sum_{n=0}^{M-1} f_n e^{-j2\pi \frac{m}{M} n}$$



TRASFORMATA DI FOURIER DISCRETA INVERSA



$$\tilde{f}(n\Delta T) = f(n\Delta T) = f_n = \frac{1}{M} \sum_{m=0}^{M-1} F_m e^{j2\pi \frac{m}{M} n}$$



Da 1D a 2D: osservazioni

$$\begin{aligned} F_m &= \sum_{n=0}^{M-1} f_n e^{-j2\pi \frac{m}{M} n} \\ &= \sum_{n=0}^{M-1} f_n \left[\cos\left(2\pi \frac{m}{M} n\right) - j \sin\left(2\pi \frac{m}{M} n\right) \right] \end{aligned}$$

- Posso intendere la DFT come la moltiplicazione del segnale per delle funzioni sinusoidali 1D
- Queste funzioni le definisco per M campioni, quindi esse sono dei frammenti di funzione

- Eseguo un cambio di variabile, u diventa la variabile delle frequenze, x quella dello spazio, dove entrambe rappresentano una quantità campionata

$$F_m = \sum_{n=0}^{M-1} f_n e^{-j2\pi \frac{m}{M} n} \rightarrow F_u = F(u) = \sum_{x=0}^{M-1} f(x) e^{-j2\pi \frac{u}{M} x}$$

- Passo al 2D

$$F(u, v) = \sum_{x=0}^{M-1} \sum_{y=0}^{N-1} f(x, y) e^{-j2\pi \left(\frac{u}{M} x + \frac{v}{N} y \right)}$$

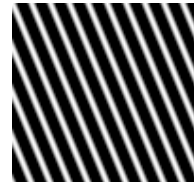
$$F(u, v) \stackrel{\mathcal{F}}{=} \sum_{x=0}^{M-1} \sum_{y=0}^{N-1} f(x, y) e^{-j2\pi \left(\frac{u}{M}x + \frac{v}{N}y \right)}$$



$$= \sum_{x=0}^{M-1} \sum_{y=0}^{N-1} f(x, y) B^{(u,v)}(x, y) = I \cdot B^{(u,v)}$$

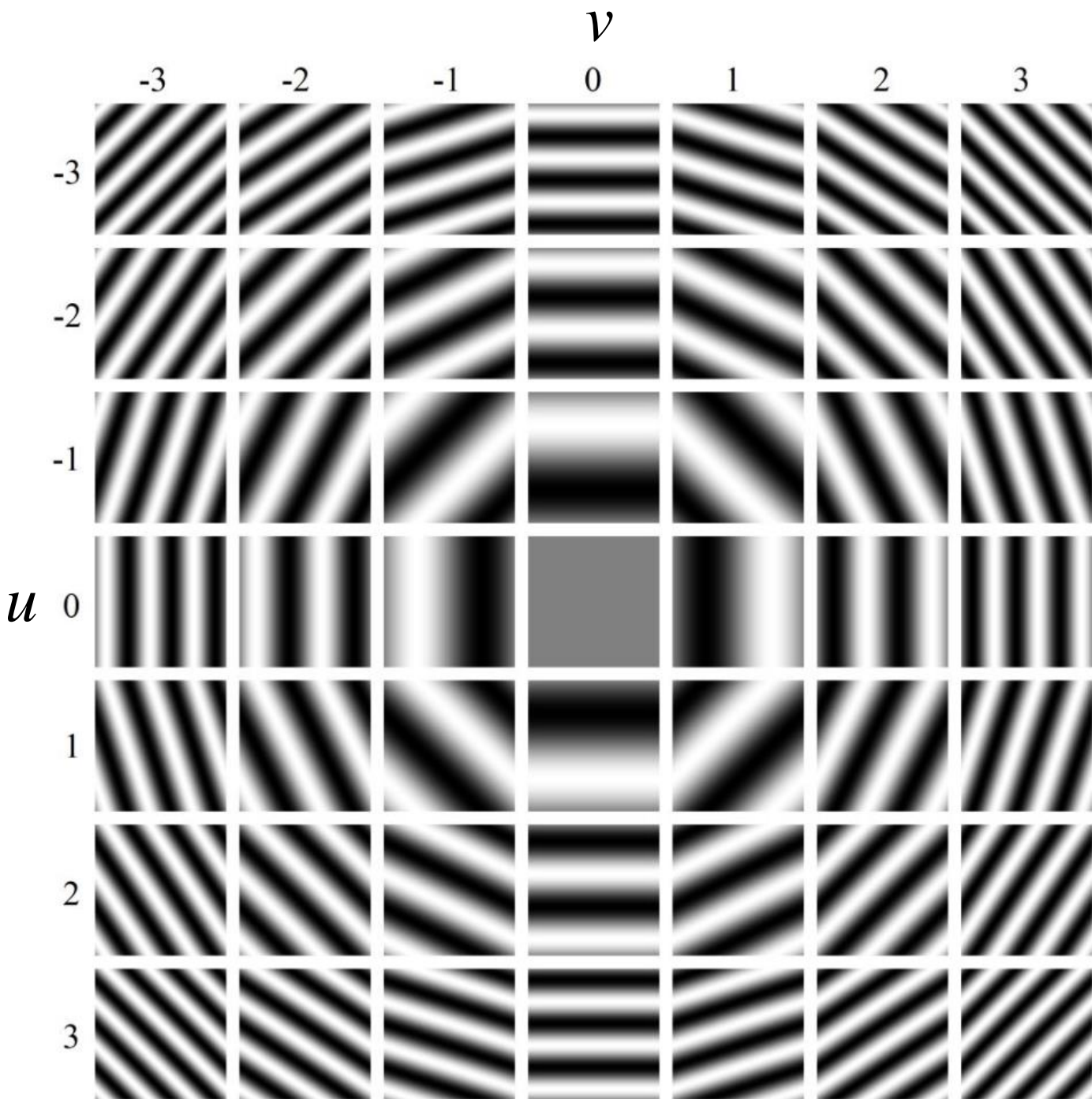
Risposta di I
all'immagine
(complessa)
base (u,v)

Immagine
(complessa)
base che [
funzione di (u,v)

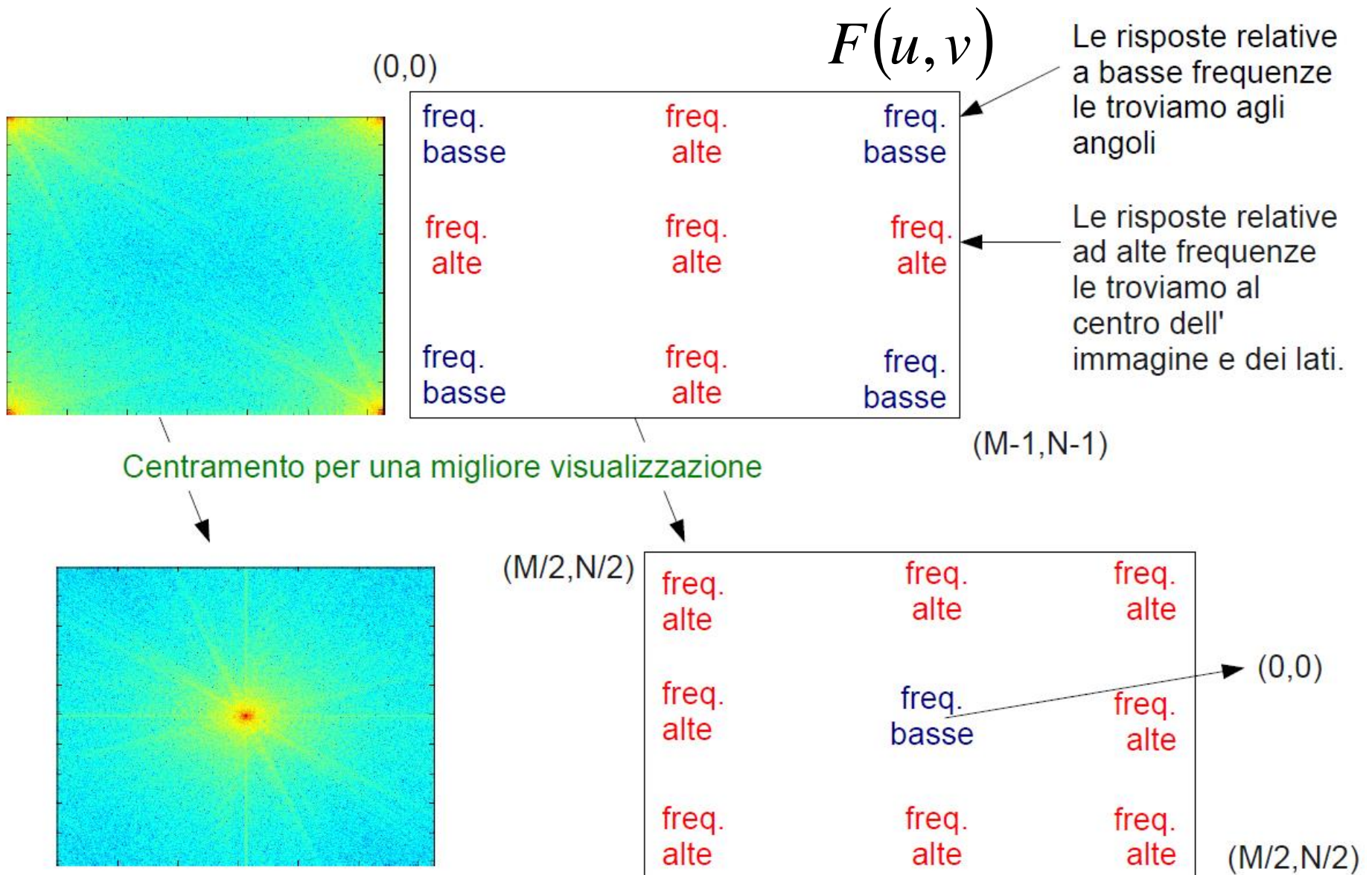


Esempi di
immagini di
base

$$f(x, y) \stackrel{\mathcal{F}^{-1}}{=} \frac{1}{MN} \sum_{u=0}^{M-1} \sum_{v=0}^{N-1} F(u, v) e^{j2\pi \left(\frac{u}{M}x + \frac{v}{N}y \right)}$$



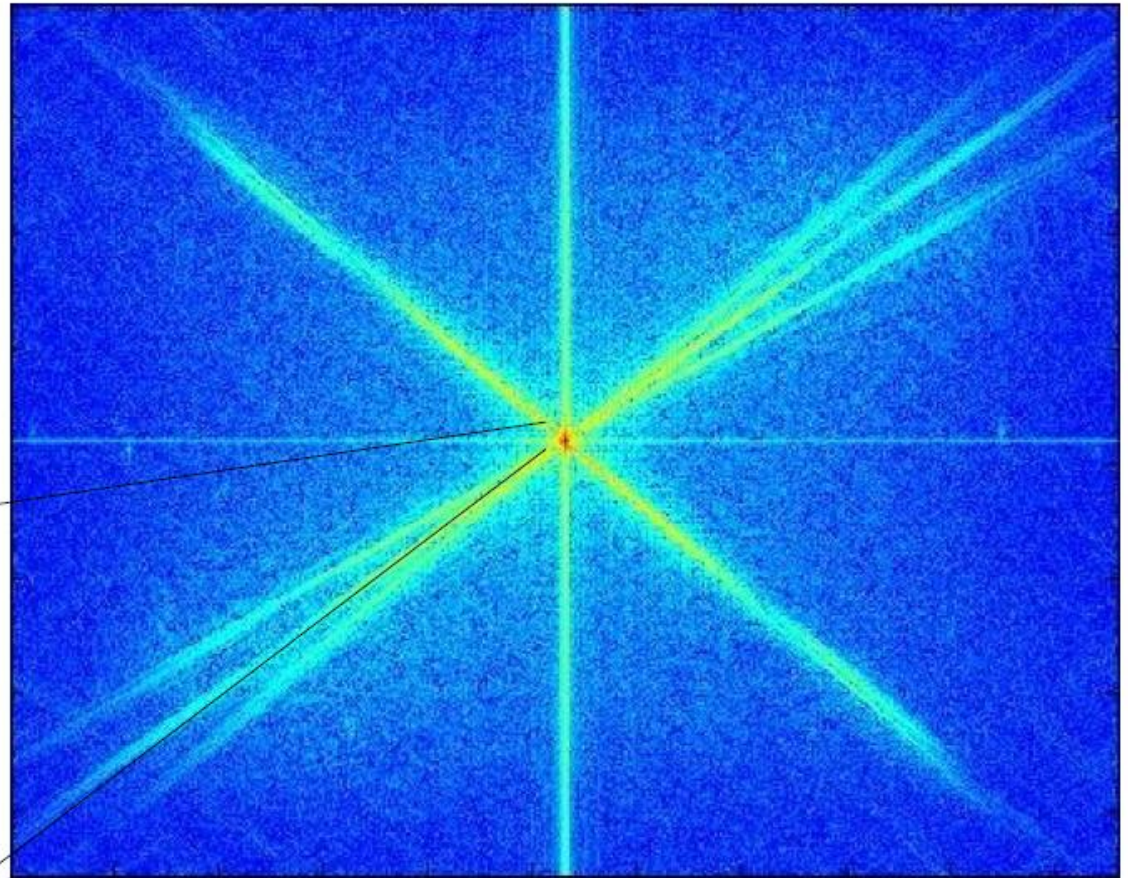
Immagini di base
per $M=N=3$



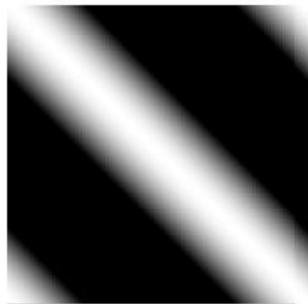
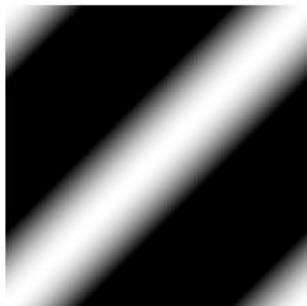


$f(x, y)$

dopo applicazione di trasformazione
logaritmica e centrimento (fftshift)



$|F(u, v)|$



Alcune proprietà DFT 2D

TRASLAZIONE

$$g(x, y) = f(x - x_0, y - y_0)$$

$$G(u, v) = F(u, v) e^{-j2\pi \left(\frac{u}{M} x_0 + \frac{v}{N} y_0 \right)}$$

$$g(x, y) = f(x, y) e^{j2\pi \left(\frac{u}{M} x_0 + \frac{v}{N} y_0 \right)}$$

$$G(u, v) = F(u - u_0, v - v_0)$$

ROTAZIONE

$$\mathcal{F}(f_\theta)(u, v) = \mathcal{F}(f)_\theta(u, v)$$

- la TdF di una immagine a cui è stata applicata una rotazione θ porterà ad una immagine di trasformata ruotata di un angolo θ

MODULO

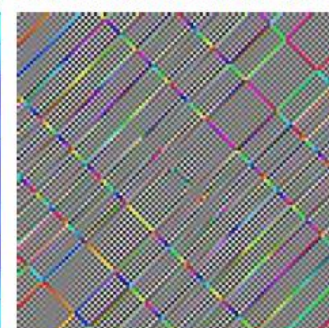
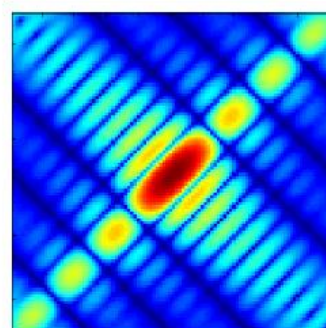
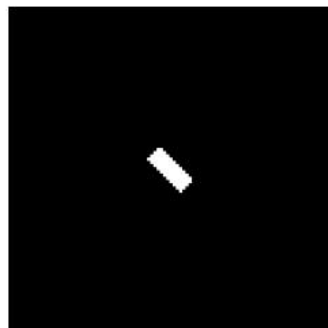
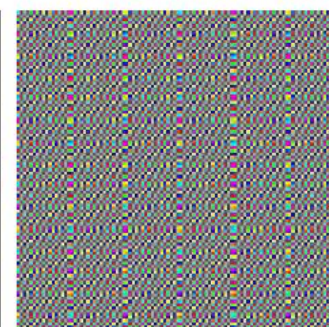
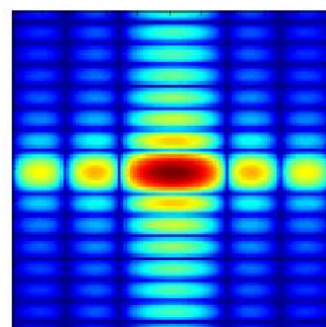
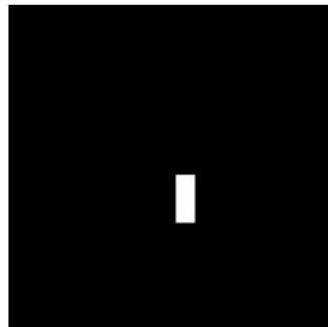
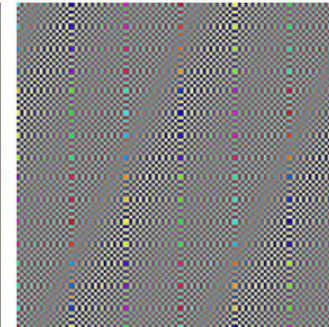
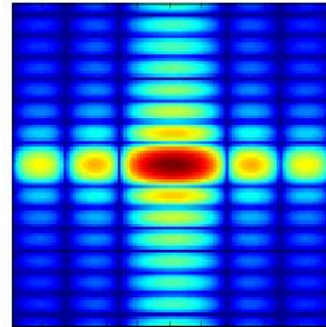
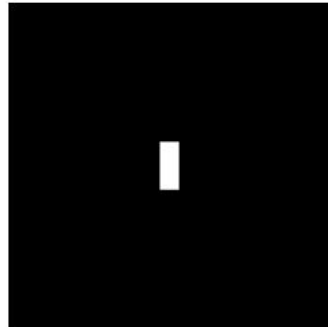
FASE

$$|F(u, v)|$$

$$\angle F(u, v)$$

abs di
MATLAB

angle di
MATLAB



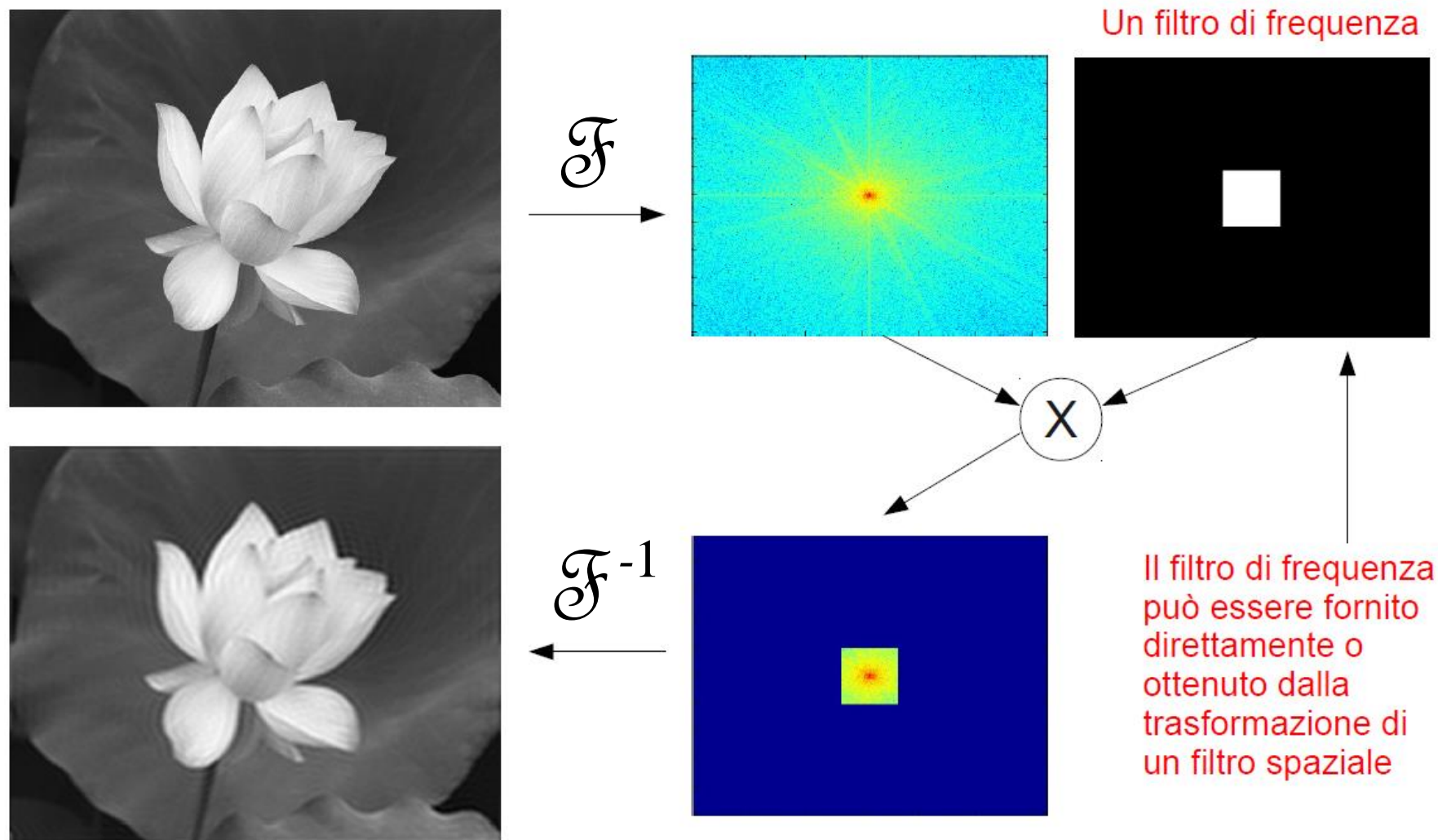
Teorema di convoluzione, richiamo

$$\mathcal{F}(f * h) = \mathcal{F}(f) \cdot \mathcal{F}(h)$$

$$\mathcal{F}(f \cdot h) = \mathcal{F}(f) * \mathcal{F}(h)$$

- E' la base del filtraggio in frequenza
- **PIPELINE 1:** a) progetto il filtro in frequenza H; b) calcolo la TDF dell'immagine F; c) $F \cdot H$; d) antitrasformo il prodotto
- **PIPELINE 2:** a) ho un filtro dato nello spazio; b) eseguo operazione di zero-padding, lo trasformo in H; eseguo la PIPELINE 1

Filtraggio nel dominio delle frequenze



Rumore nel dominio delle frequenze

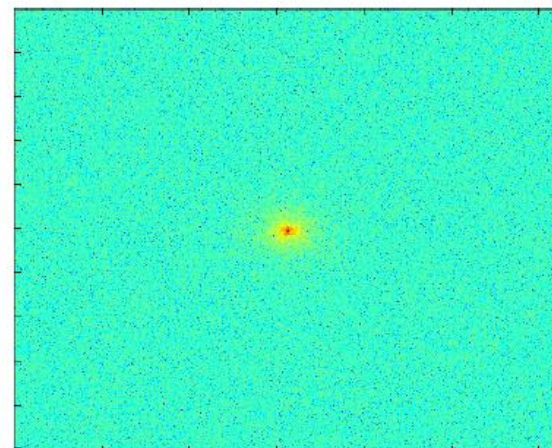
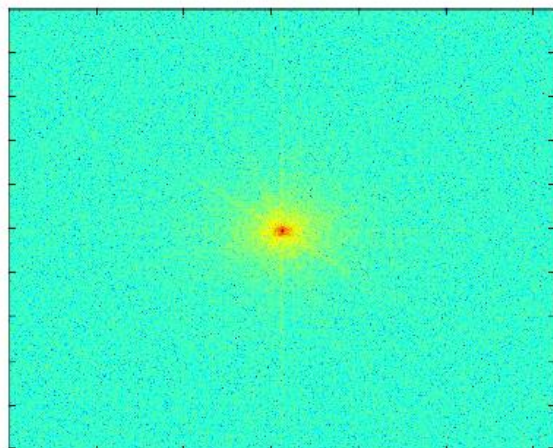
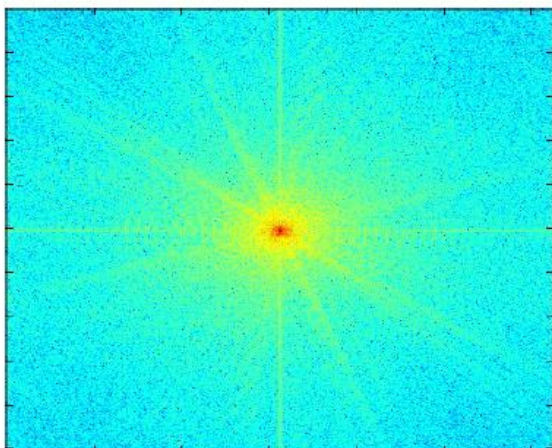
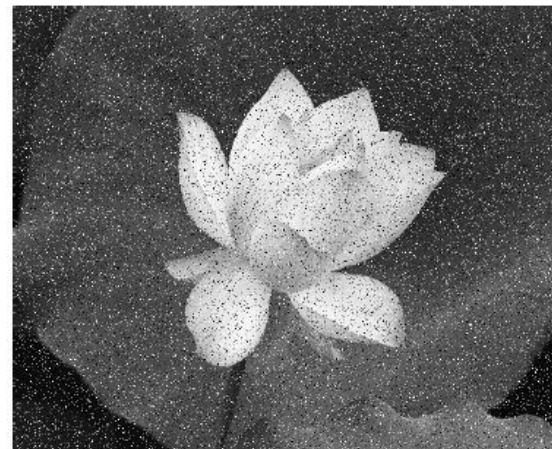
IMMAGINE ORIGINALE



RUMORE GAUSSIANO



RUMORE SALE E PEPE



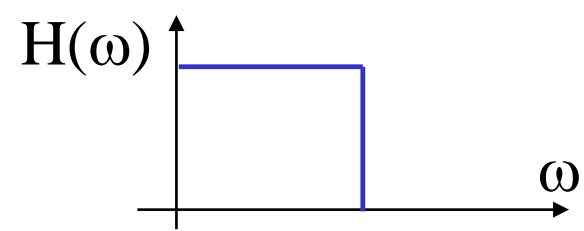
Il rumore porta ad un aumento delle alte frequenze. Riducendo le alte frequenze riduciamo il rumore, ma anche il livello di dettaglio

Filtri passa alto e passa basso

- L'informazione a basse frequenze corrispondono a parti dell'immagine in cui abbiamo lente variazioni di intensità, come muri di una stanza, o nuvolosità nel cielo.
- Le informazioni ad alte frequenze corrispondono invece a parti in cui abbiamo variazioni repentine, come spigoli, angoli e rumore.
- Un filtro passa basso rimuove dall'immagine le informazioni ad alte frequenze e mantiene quelle a basse frequenze.
- Un filtro passa alto viceversa rimuove dall'immagine informazioni a basse frequenze e mantiene quelle ad alte frequenze.
- Filtri passa alto possono essere derivati da filtri passa basso (e viceversa) con

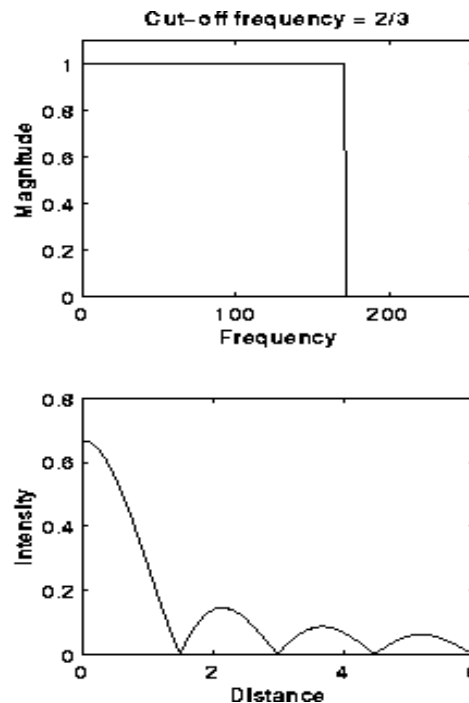
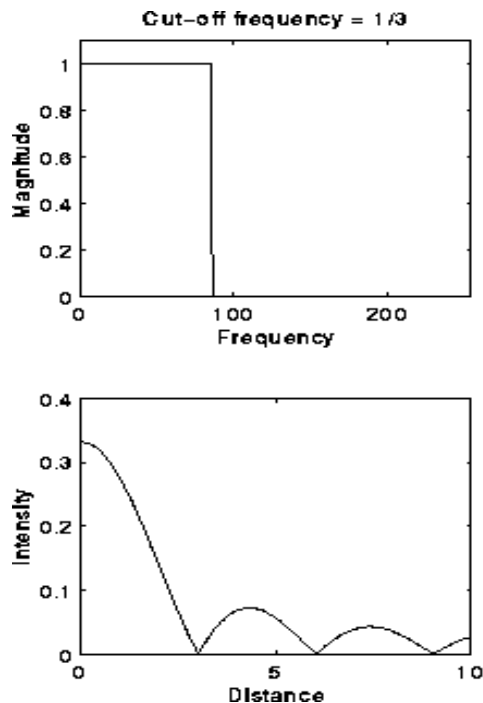
$$H_{PA} = 1 - H_{PB}$$

Filtro passa basso “ideale”

- Lo sfocamento o smoothing si ottiene attenuando le alte frequenze.
- Anche la riduzione del rumore passa attraverso l'attenuazione delle alte frequenze
- Un filtro passa basso ideale ha una *funzione di trasferimento* (= la sua trasformata in frequenza) a box.
- Una transizione così netta in corrispondenza alla *frequenza di taglio* non è fisicamente realizzabile.
- Questo non sarebbe un problema, visto che i filtri che ci interessano sono digitali, ma provoca un effetto visivo indesiderato, il *ringing*.

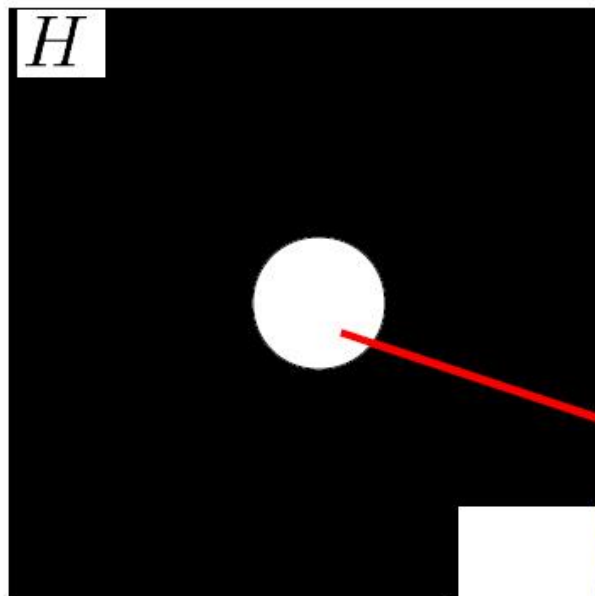
Ringing

- Il *ringing* (o effetto di Gibbs) è dovuto al fatto che filtrare con un PB ideale (in frequenza) equivale a convolvere con un *sinc* (nello spazio).
- La risposta all'impulso del PB ideale è un *sinc*.



- Qui a sinistra mostro semplicemente che a parità di sistemi di riferimento, aumentare l'ampiezza della box porta ad avere i lobi del sinc più vicini tra loro

Filtro passa basso “ideale”

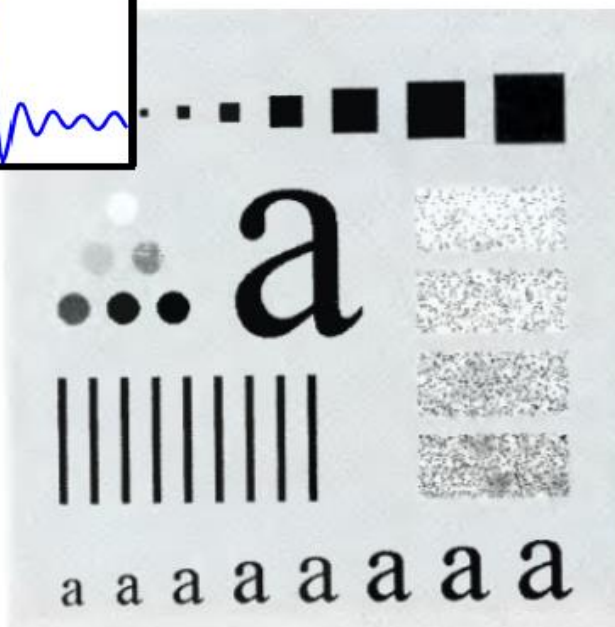
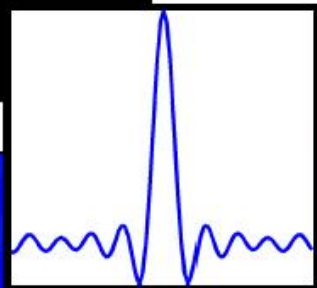
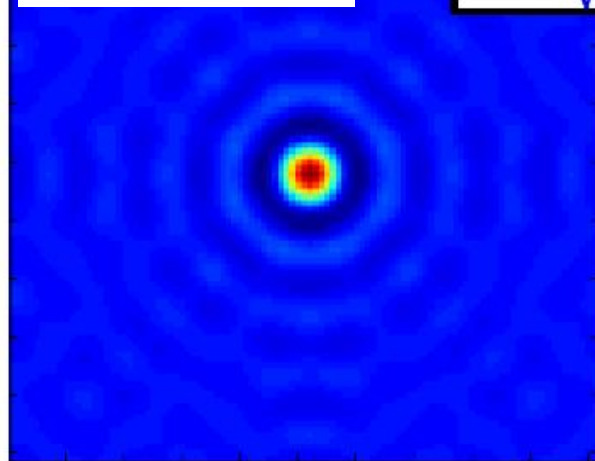


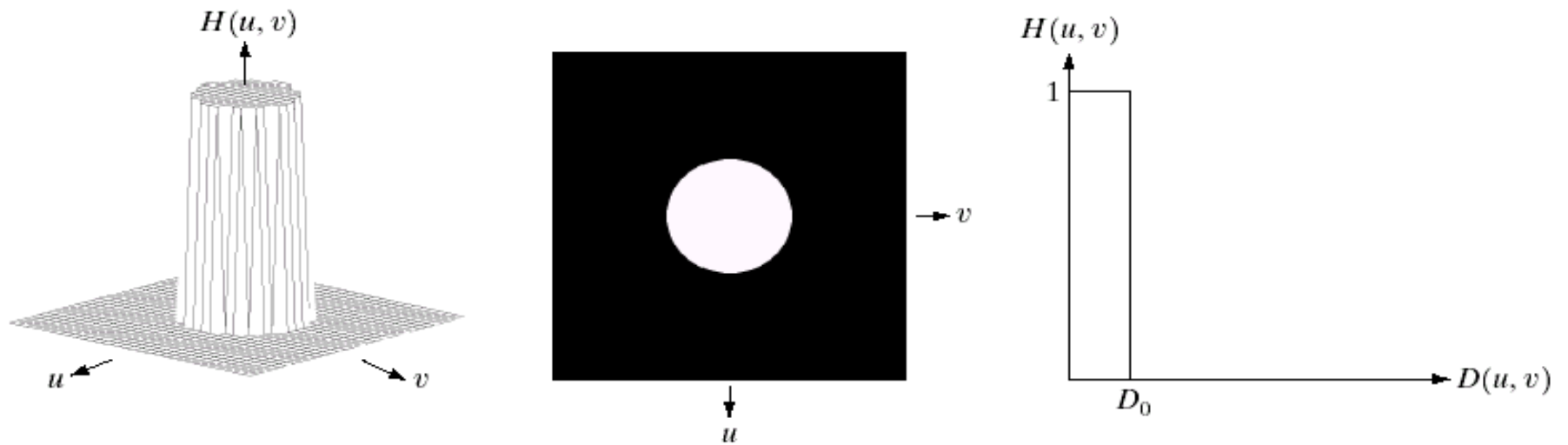
$$H(u, v) = \begin{cases} 1 & \text{se } D(u, v) \leq D_0 \\ 0 & \text{se } D(u, v) > D_0 \end{cases} \quad \leftarrow \begin{array}{l} \text{raggio} \\ \text{cerchio} \\ D_0 = \mu_c \end{array}$$

$$D(u, v) = \sqrt{(u - M/2)^2 + (v - N/2)^2}$$

Solo le frequenze nel cerchio di raggio D_0 vengono mantenute.

$\mathcal{F}^{-1}(H)$





a b c

FIGURE 4.10 (a) Perspective plot of an ideal lowpass filter transfer function. (b) Filter displayed as an image. (c) Filter radial cross section.

Esempio di ringing example

Passa basso
in frequenza
di raggio 5
pixel

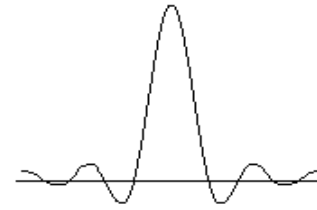
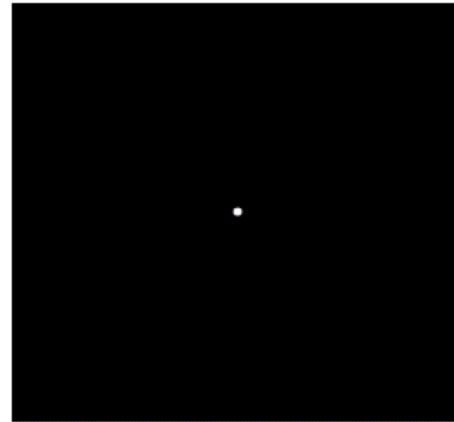
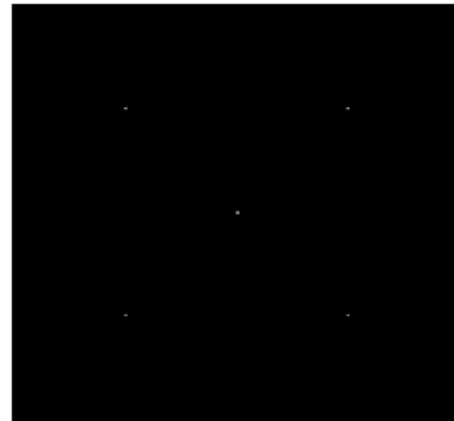
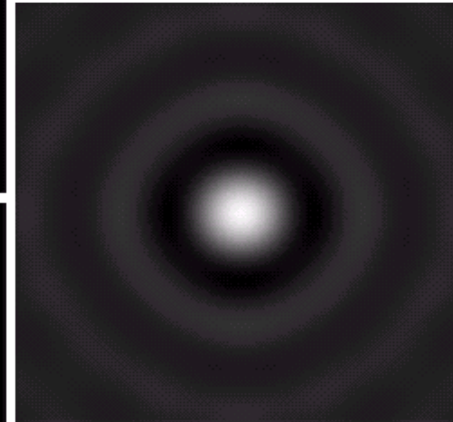


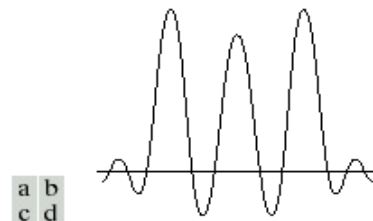
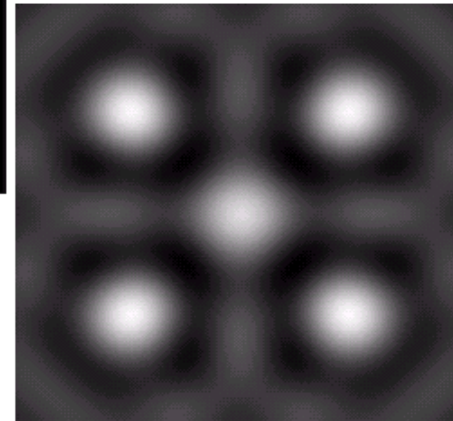
Immagine con 5
pixel



Passa basso
antitrasformato
nello spazio 2D



Applicazione del
passabasso nello
spazio



a b
c d

FIGURE 4.13 (a) A frequency-domain ILPF of radius 5. (b) Corresponding spatial filter (note the ringing). (c) Five impulses in the spatial domain, simulating the values of five pixels. (d) Convolution of (b) and (c) in the spatial domain.



originale



noise gaussiano

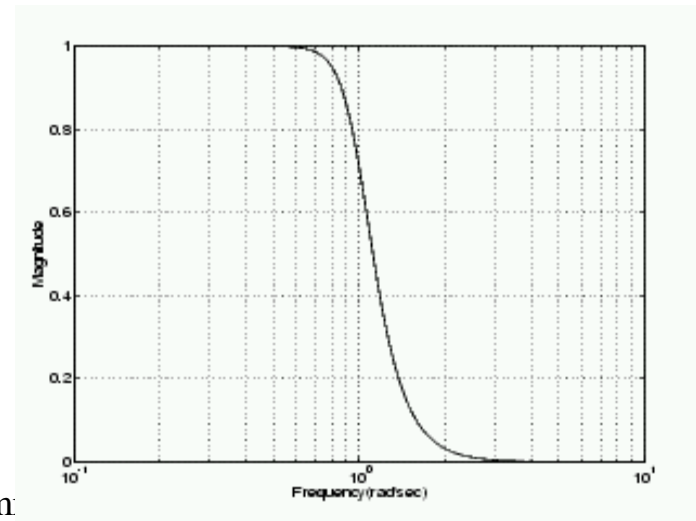


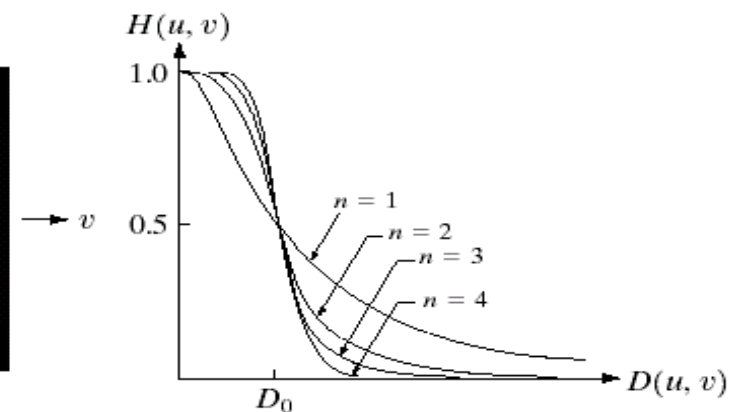
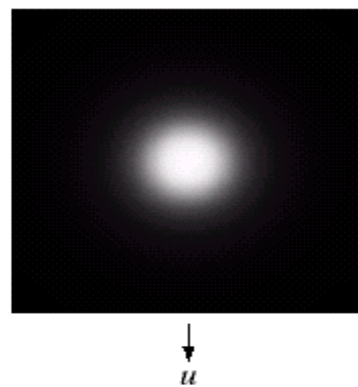
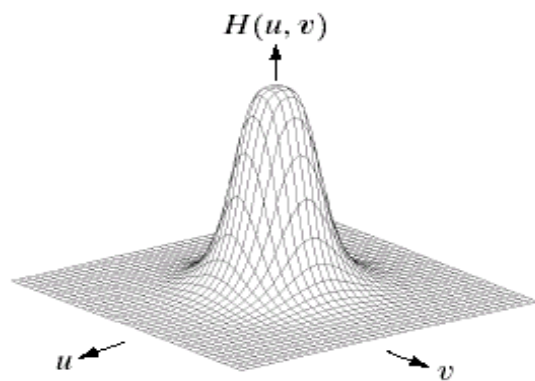
filtraggio con passa
basso ideale

Filtro passa basso di Butterworth

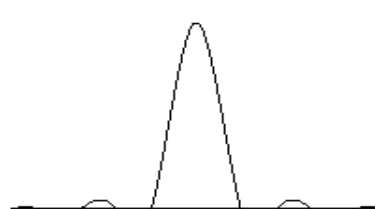
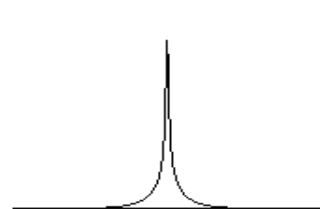
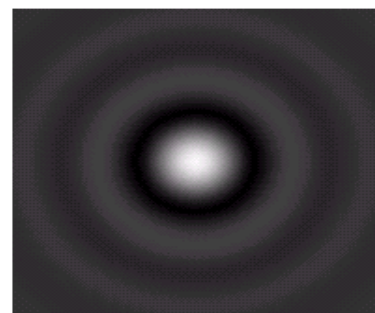
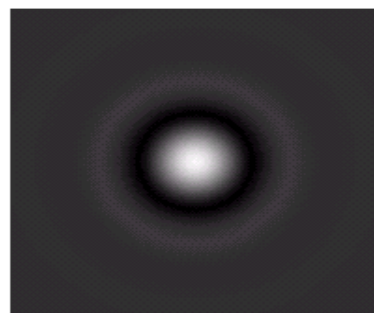
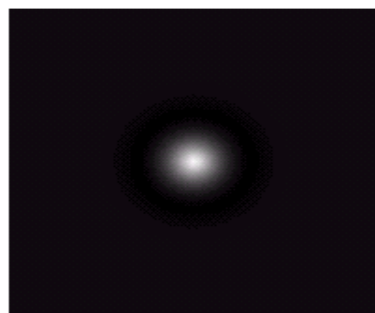
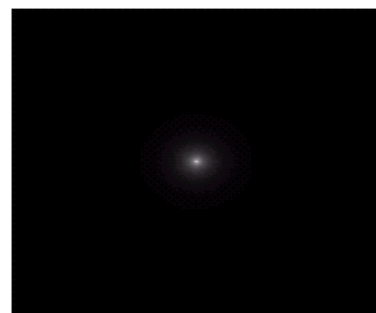
- Filtro con attenuazione dolce in prossimità della frequenza di taglio.
- Proprietà caratterizzante: risposta molto ripida nella banda passante.
- Ordine n , frequenza di taglio $D_0 = \mu_c$

$$H(u, v) = \frac{1}{1 + (D(u, v) / D_0)^{2n}}$$





$\mathcal{F}^{-1}(H)$



$n=1$

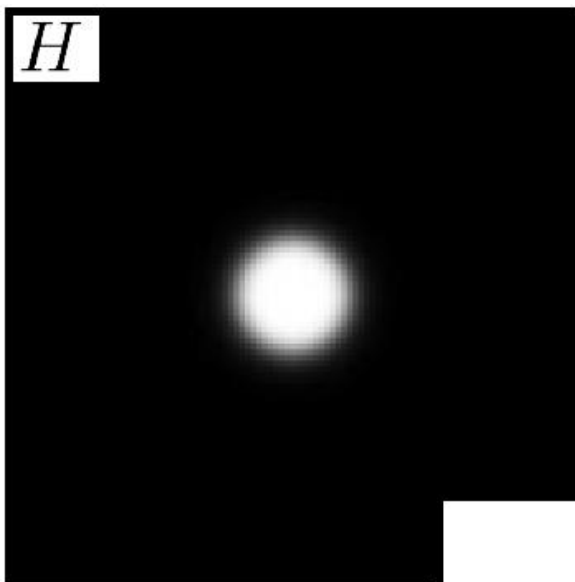
$n=2$

$n=5$

$n=20$

Vitt

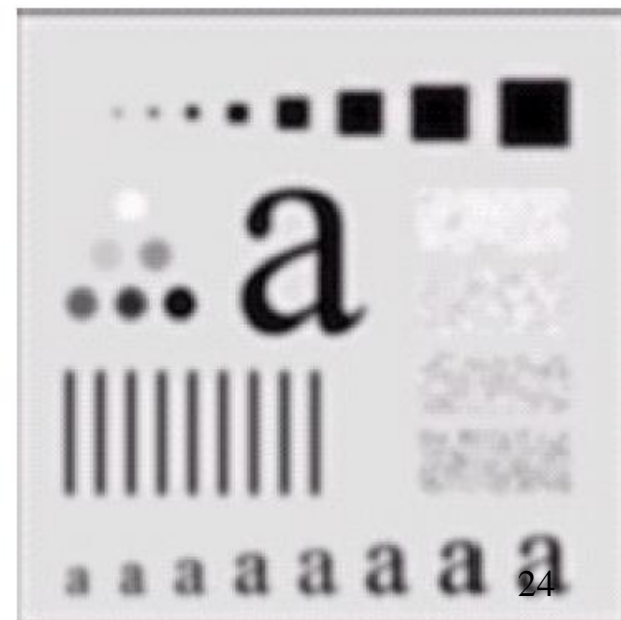
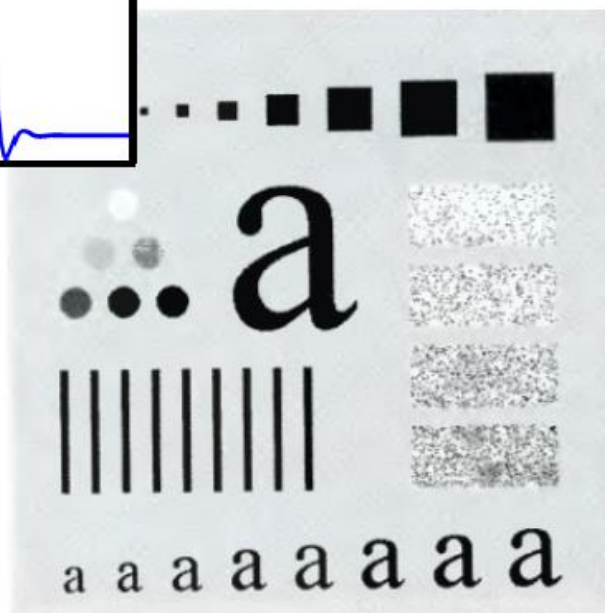
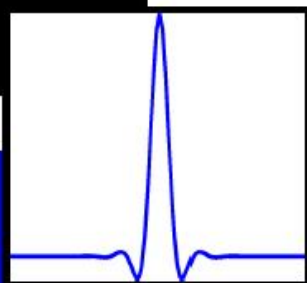
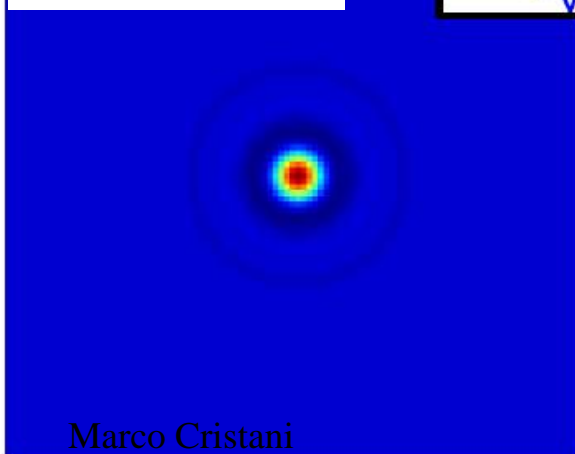
level
cases



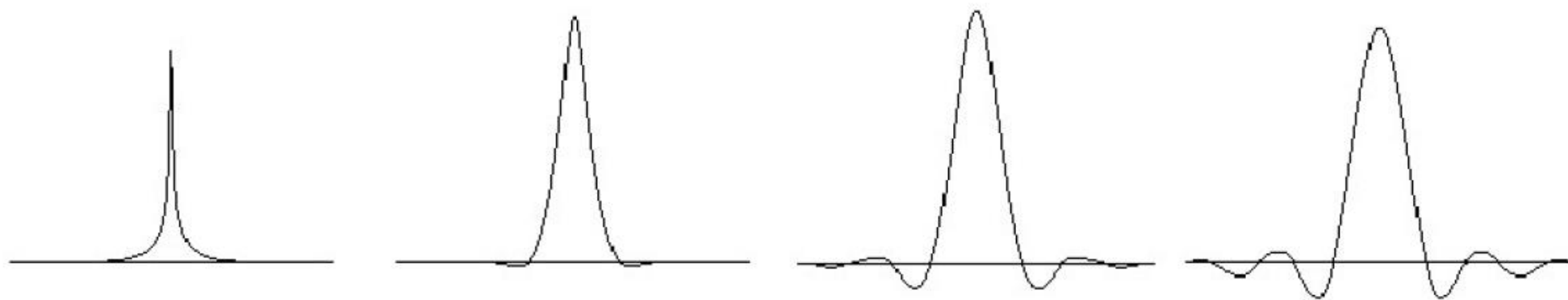
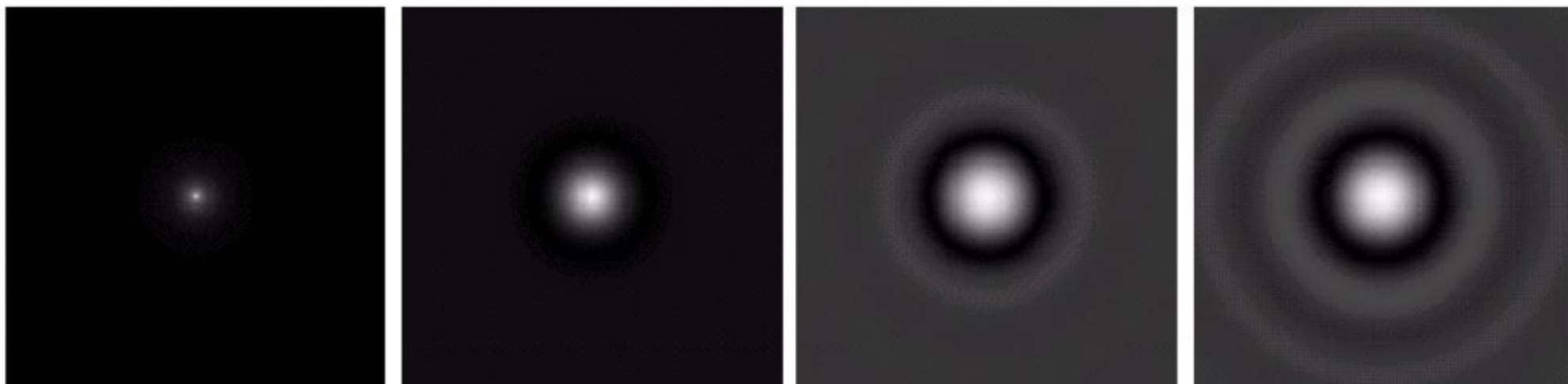
$$H(u, v) = \frac{1}{1 + [D(u, v)/D_0]^{2n}}$$

$$D(u, v) = \sqrt{(u - M/2)^2 + (v - N/2)^2}$$

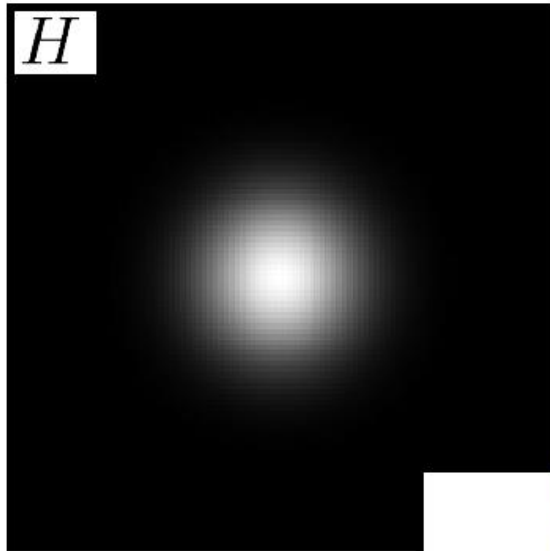
$\mathcal{F}^{-1}(H)$



per n tendente all'infinito otteniamo il filtro passa basso ideale

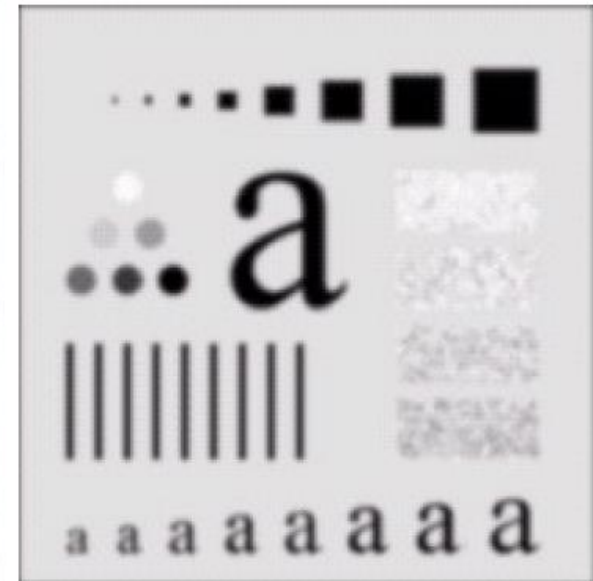
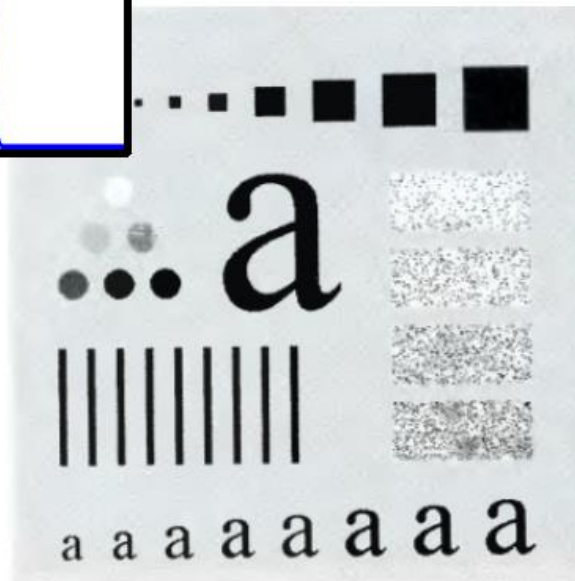
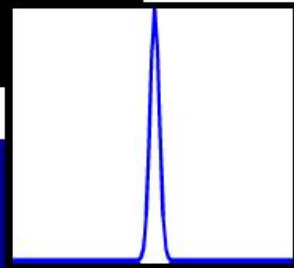
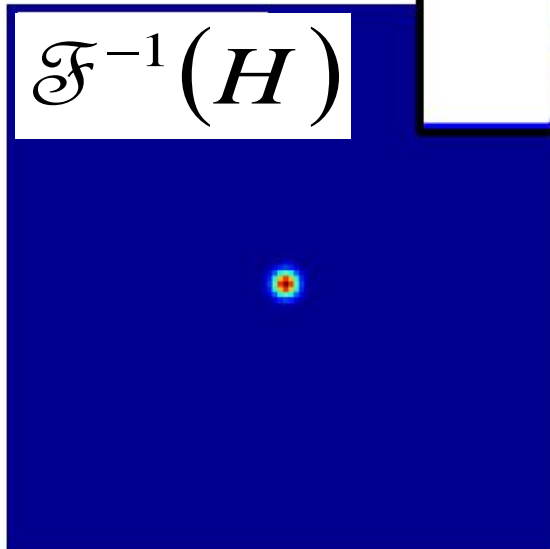


Filtro passa basso Gaussiano



$$H(u, v) = e^{-\frac{D^2(u, v)}{2D_0^2}}$$

$$D(u, v) = \sqrt{(u - M/2)^2 + (v - N/2)^2}$$



- la TdF di una funzione Gaussiana è anch'essa Gaussiana (la dimostrazione impleca l'uso di calcolo differenziale)

$$\begin{array}{ll}
 F(u) = Ae^{-u/2\sigma^2} & f(t) = Ae^{-t/2\sigma^2} \\
 f(t) = \sqrt{2\pi}\sigma Ae^{-2\pi^2\sigma^2 t^2} & \text{oppure} \\
 F(u) = \sqrt{2\pi}\sigma Ae^{-2\pi^2\sigma^2 u^2}
 \end{array}$$

- Nella slide precedente, D_0 può essere sostituita con σ , l'effettiva deviazione standard della distribuzione Gaussiana
- In questo caso, la frequenza di taglio D_0 corrisponde alla deviazione standard σ
- Quando $D(u,v) = \sigma$ l'intensità di taglio è 0.607, ossia il filtraggio crea un attenuamento di quella frequenza del 60.7%

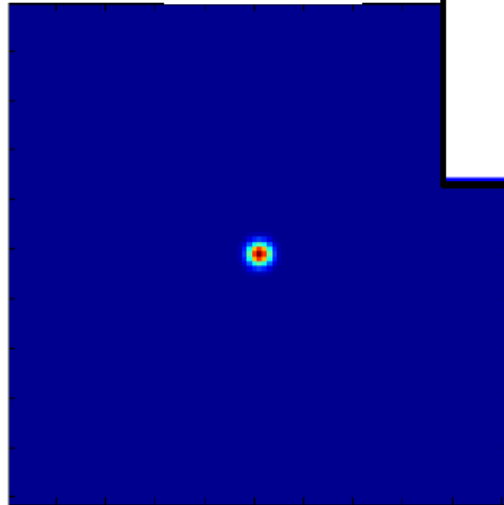
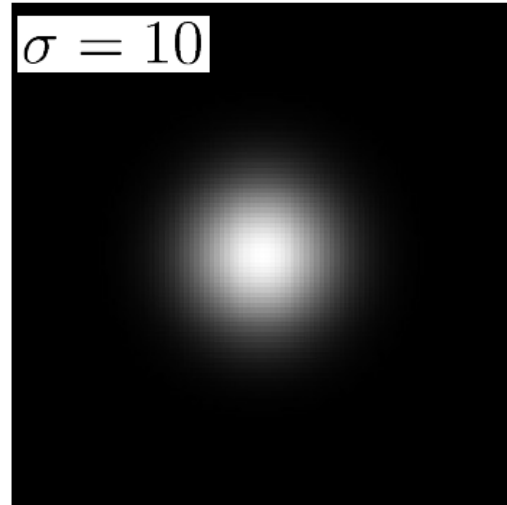
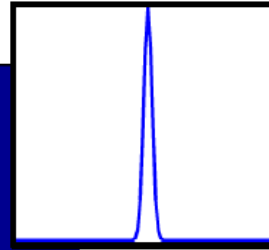
- Osservazione:

$$F(u) = Ae^{-u/2\sigma^2}$$

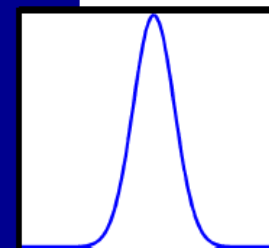
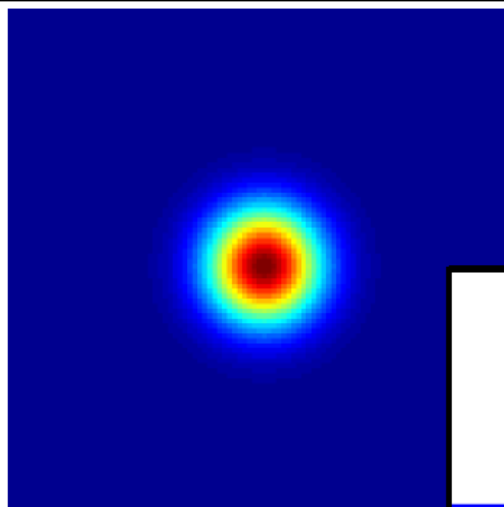
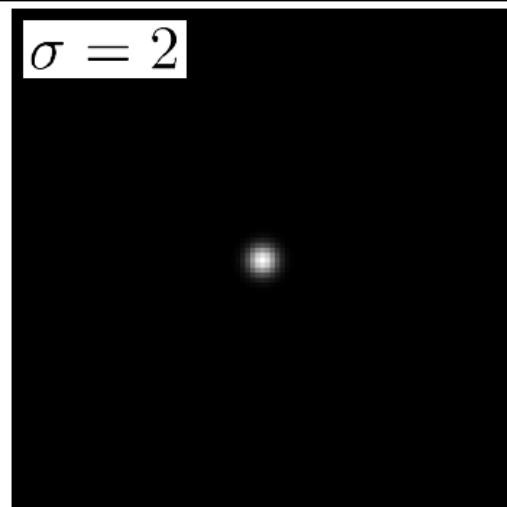
$$f(t) = \sqrt{2\pi}\sigma Ae^{-2\pi^2\sigma^2 t^2}$$

H

$\mathcal{T}^{-1}(H)$



Un filtro gaussiano con una certa scala nel dominio delle frequenze, corrisponde ad un filtro gaussiano con scala inversa nel dominio dello spazio.



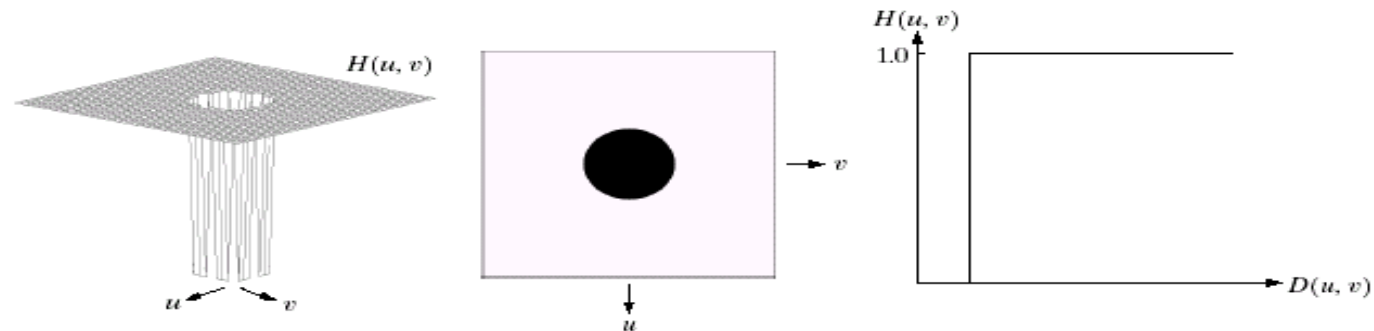
Riassunto dei filtri passa-basso

- **Ideale**: brusca (= step) transizione in corrispondenza della frequenza di cut-off → fenomeno di Gibbs o di ringing
- **Gaussiano**: transizione di cut-off dolce. Il parametro σ determina la frequenza di cut-off.
- **Butterworth**: di ripidità variabile, e transizione smooth. La ripidità viene modellata dall'ordine del filtro. La frequenza di cut-off viene selezionata indipendentemente dall'ordine del filtro.

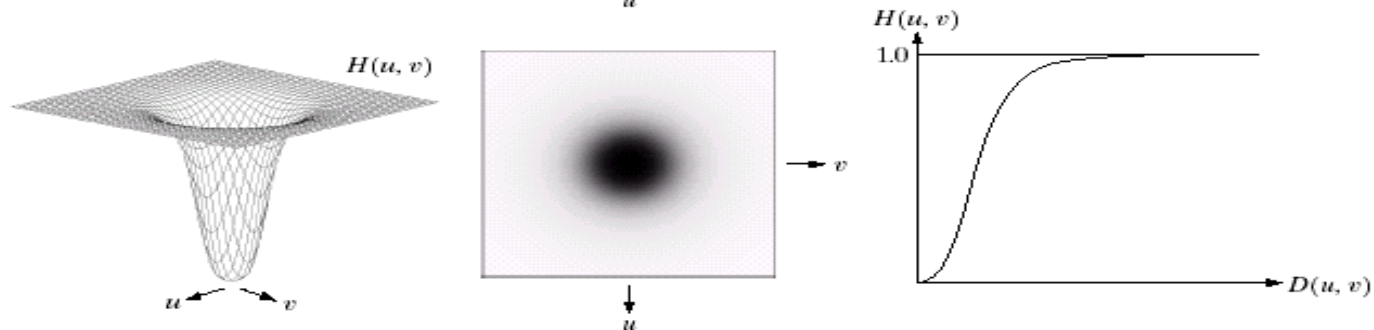
Filtri passa alto, PA

- Un filtro passa alto sopprime (blocca) le basse frequenze e lascia passare le alte frequenze. La costruzione di un filtro passa alto può essere eseguita come $H_{PA} = 1 - H_{PB}$ ← passa basso

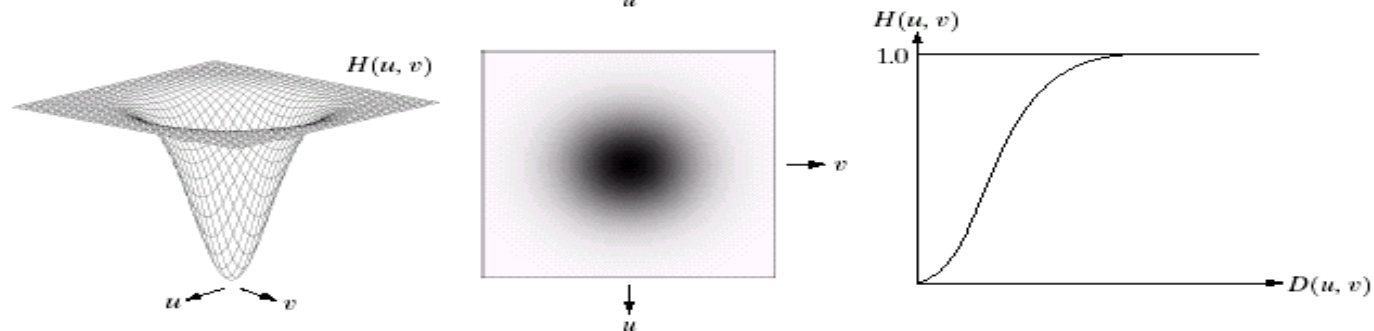
PA Ideale



PA di Butterworth



PA gaussiano



Rappresentazione spaziale dei filtri passa alto ideali, Butterworth and gaussiani

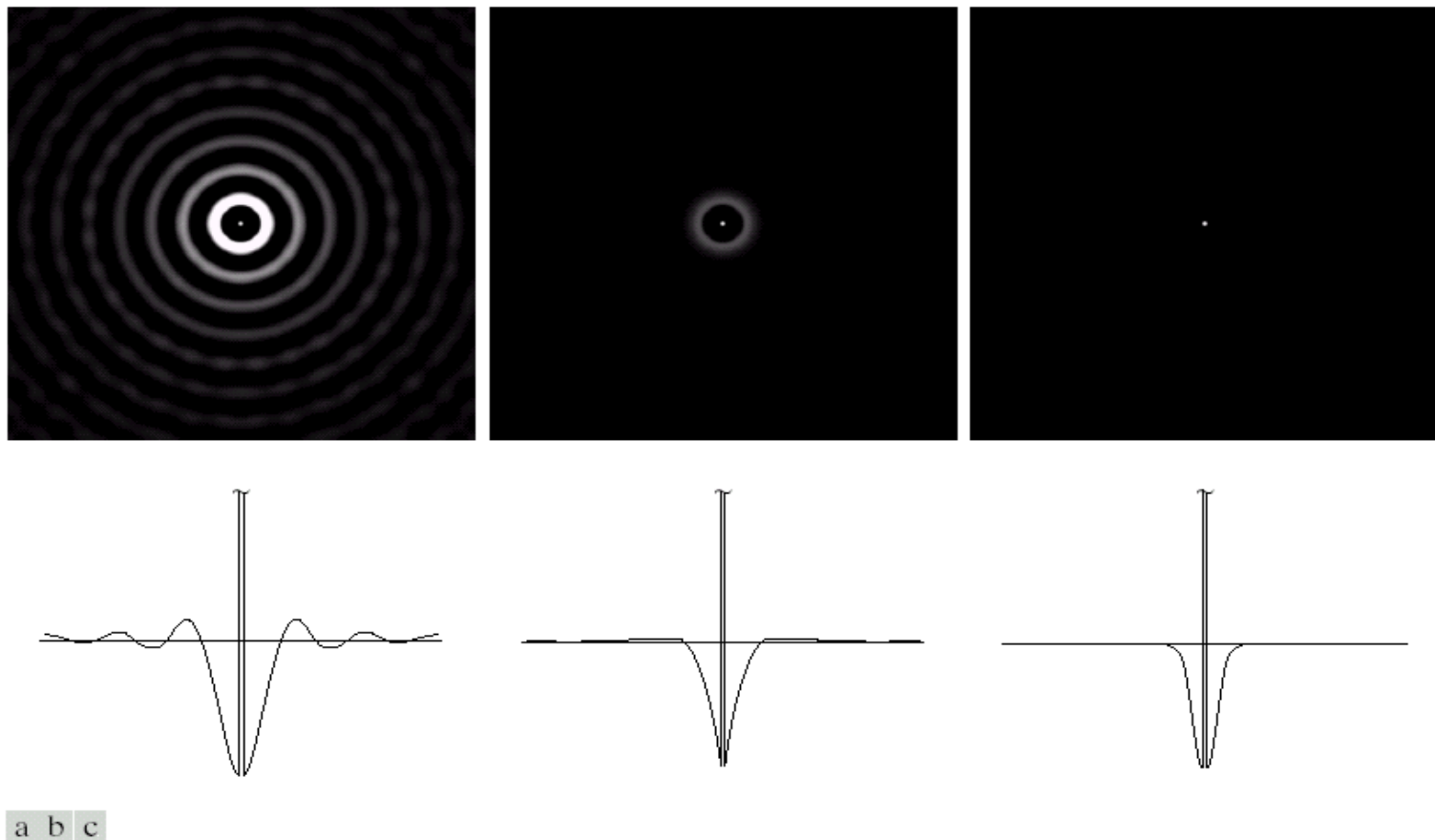
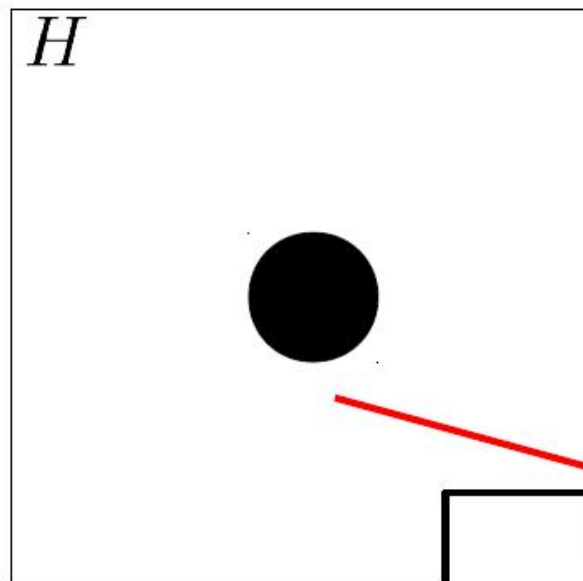


FIGURE 4.23 Spatial representations of typical (a) ideal, (b) Butterworth, and (c) Gaussian frequency domain highpass filters, and corresponding gray-level profiles.

Filtro passa alto ideale

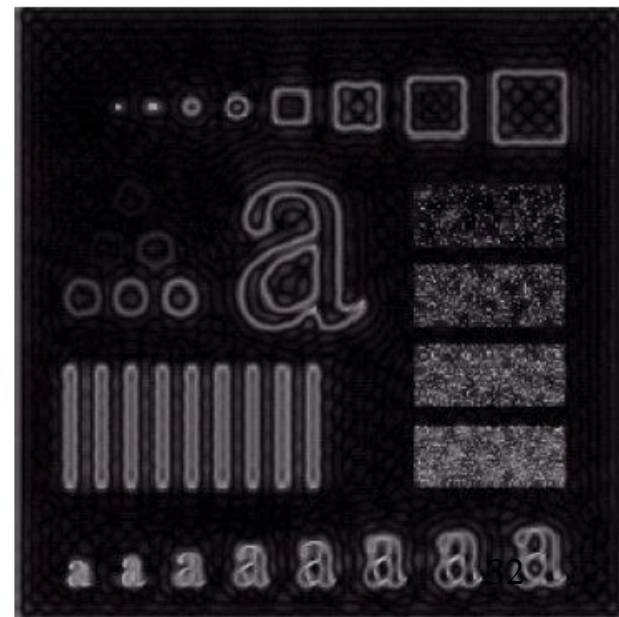
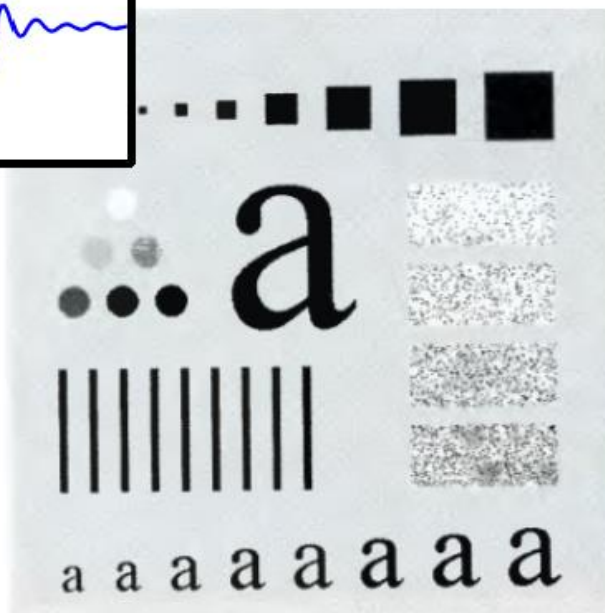
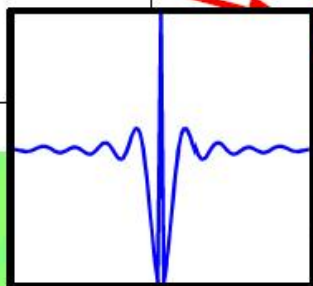
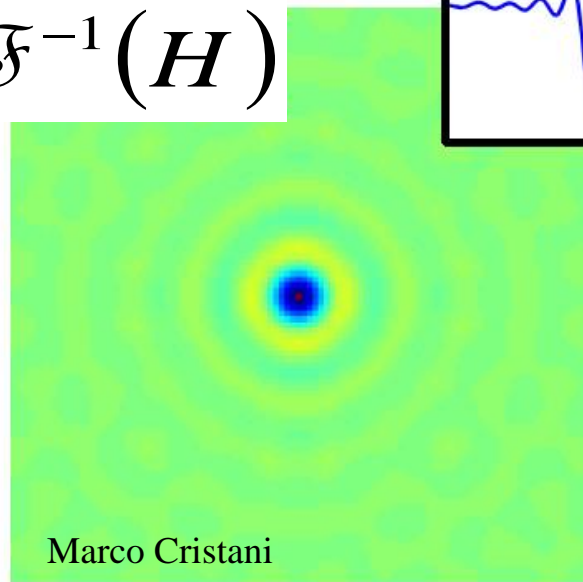


$$H(u, v) = \begin{cases} 0 & \text{se } D(u, v) \leq D_0 \\ 1 & \text{se } D(u, v) > D_0 \end{cases}$$

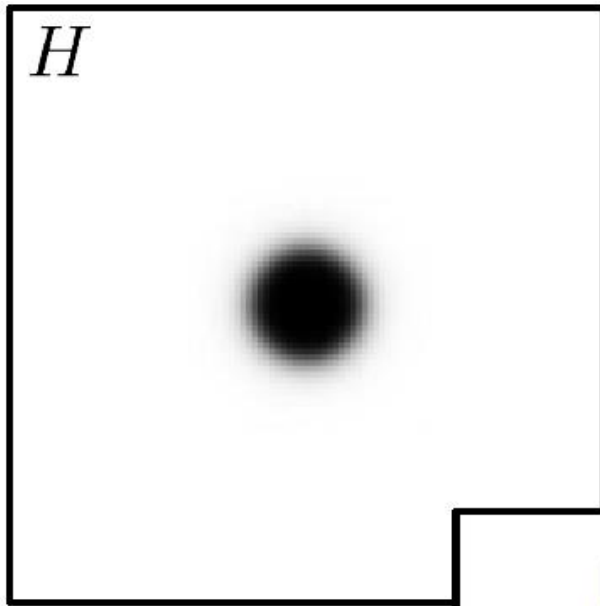
$$D(u, v) = \sqrt{(u - M/2)^2 + (v - N/2)^2}$$

Solo le frequenze fuori dal cerchio di raggio D_0 vengono mantenute.

$\mathcal{F}^{-1}(H)$



Filtro passa alto di Butterworth

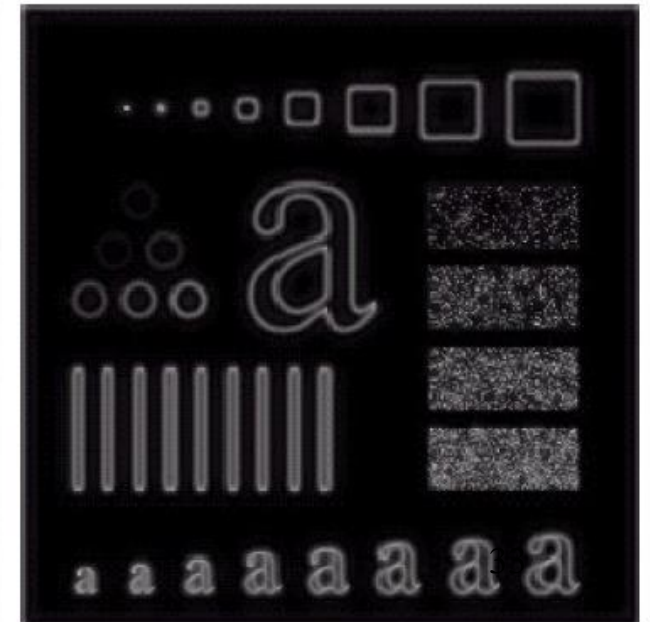
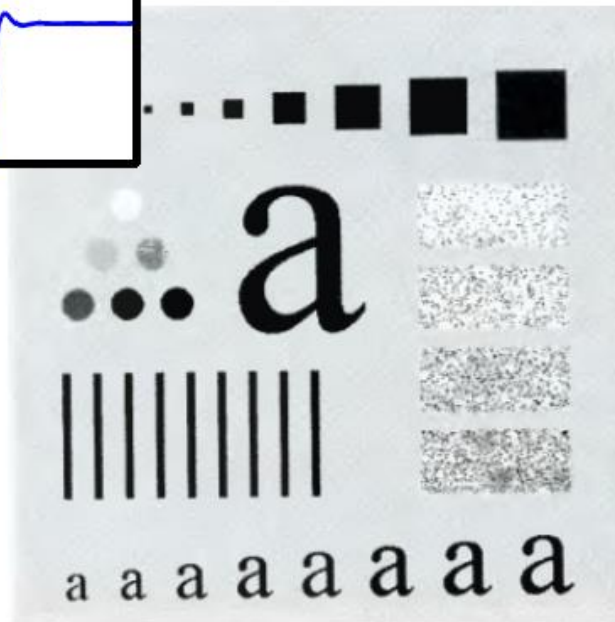
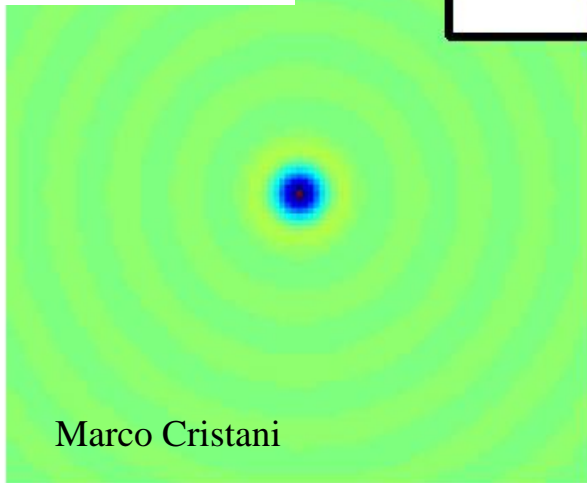
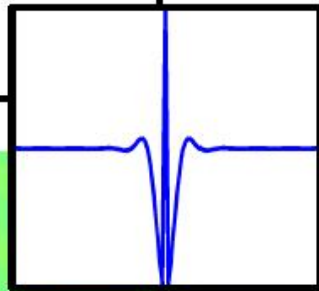


$$H(u, v) = \frac{1}{1 + [D(u, v)/D_0]^{-2n}}$$

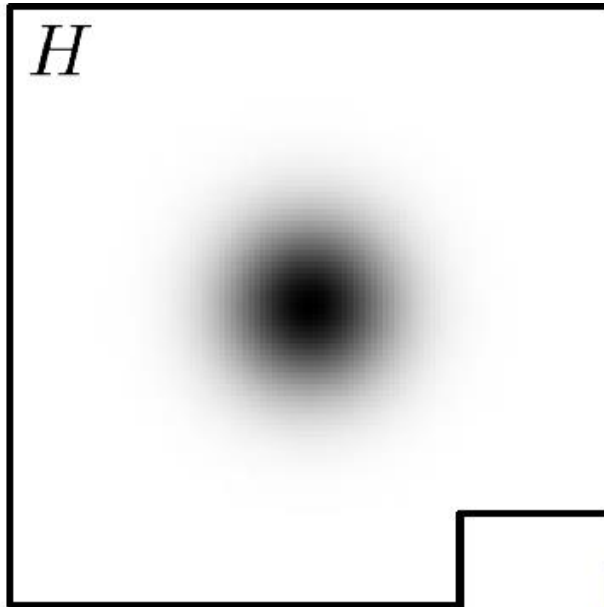
$$D(u, v) = \sqrt{(u - M/2)^2 + (v - N/2)^2}$$

Per n tendente ad infinito abbiamo il filtro passa alto ideale.

$\mathcal{F}^{-1}(H)$



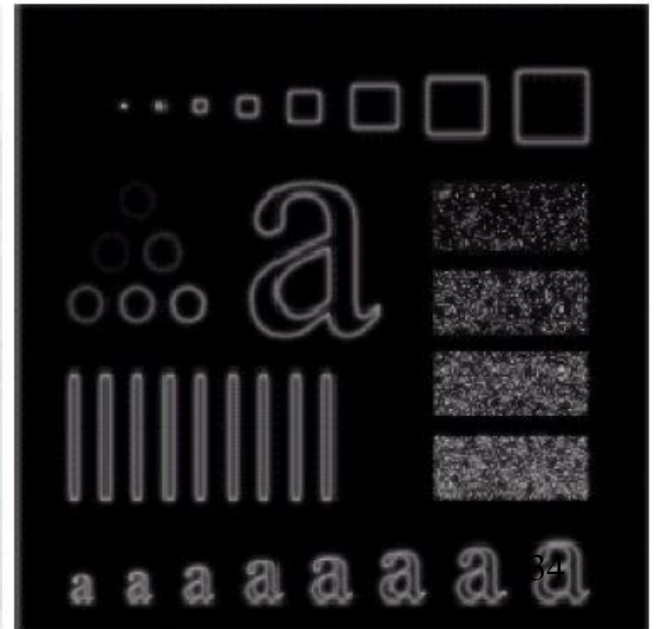
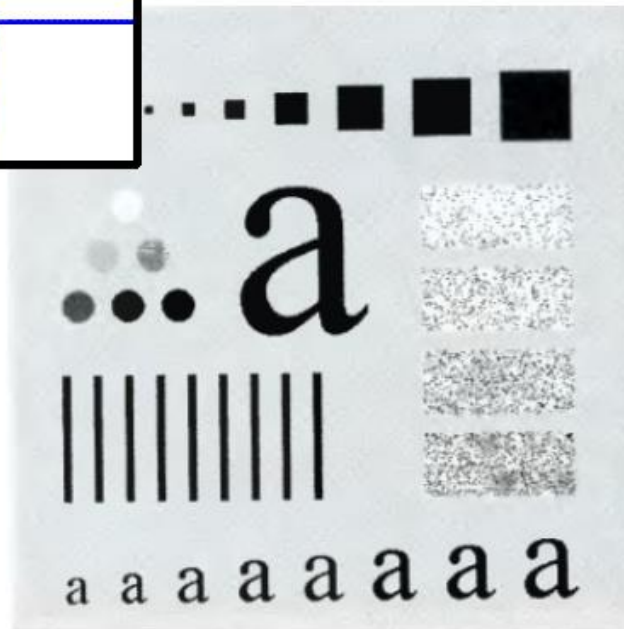
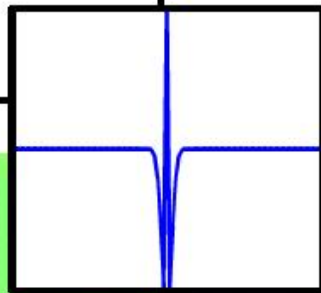
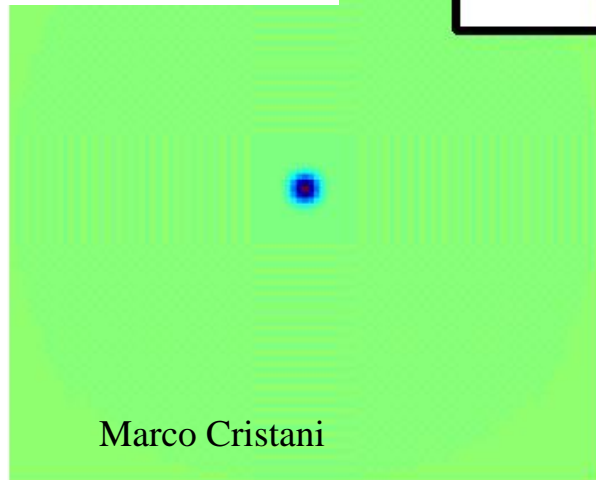
Filtro passa alto Gaussiano



$$H(u, v) = 1 - e^{-\frac{D^2(u, v)}{2D_0^2}}$$

$$D(u, v) = \sqrt{(u - M/2)^2 + (v - N/2)^2}$$

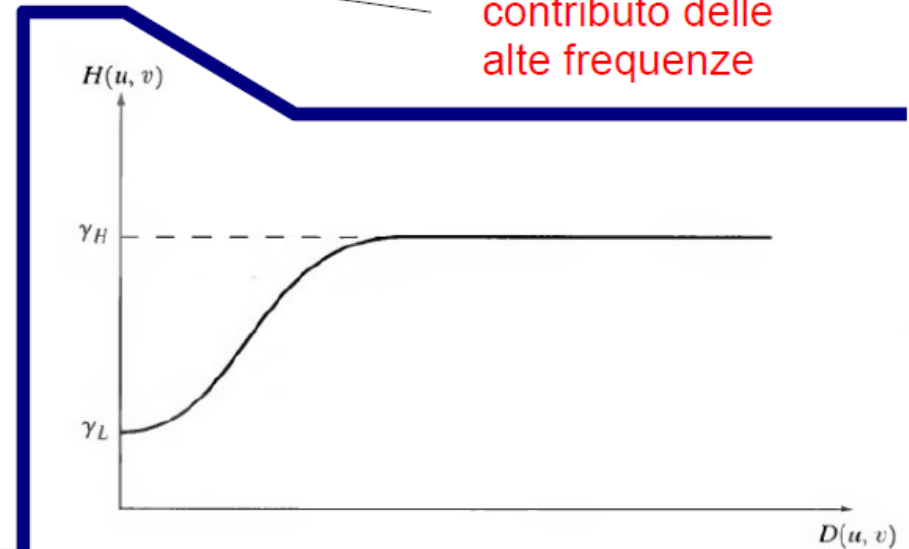
$\mathcal{F}^{-1}(H)$



Filtri per enfatizzare le alte frequenze

$$H(u, v) = 1 + k H_{PA}(u, v)$$

← filtro passa alto



FILTRO OMEOMORFO:
attenua contributo basse frequenze e
aumenta quello delle alte frequenze

$$H(u, v) = (\gamma_H - \gamma_L)[1 - e^{-cD^2[u, v]/D_0^2}] + \gamma_L$$

Filtri passa banda ed ferma banda

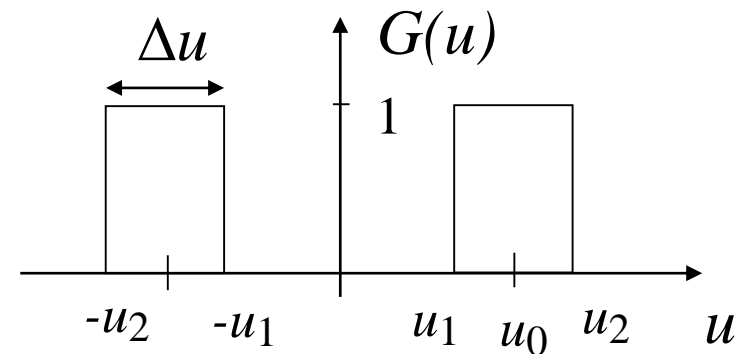
- Vediamo ora una classe di filtri che agiscono su una banda di frequenze anziché discriminare solo tra frequenze alte e basse.
- Un filtro passa banda sopprime tutte le frequenze al di fuori di un intervallo di frequenze specificato.
- Un filtro ferma banda viceversa sopprime tutte le frequenze nell'intervallo specificato.
- In modo simile a quanto visto per i filtri passa basso e alto, si può derivare un filtro passa banda da un filtro ferma banda (e viceversa) nel seguente modo:

$$H_{PBn} = 1 - H_{EBn}$$

Filtro passa-banda ideale 1D

- Mantenimento inalterato delle componenti in frequenza compresi tra u_1 e u_2 , $u_1 < u_2$
- La funzione di trasferimento desiderata e`:

$$G(u) = \begin{cases} 1, & u_1 < |u| < u_2 \\ 0, & \text{altrove} \end{cases}$$



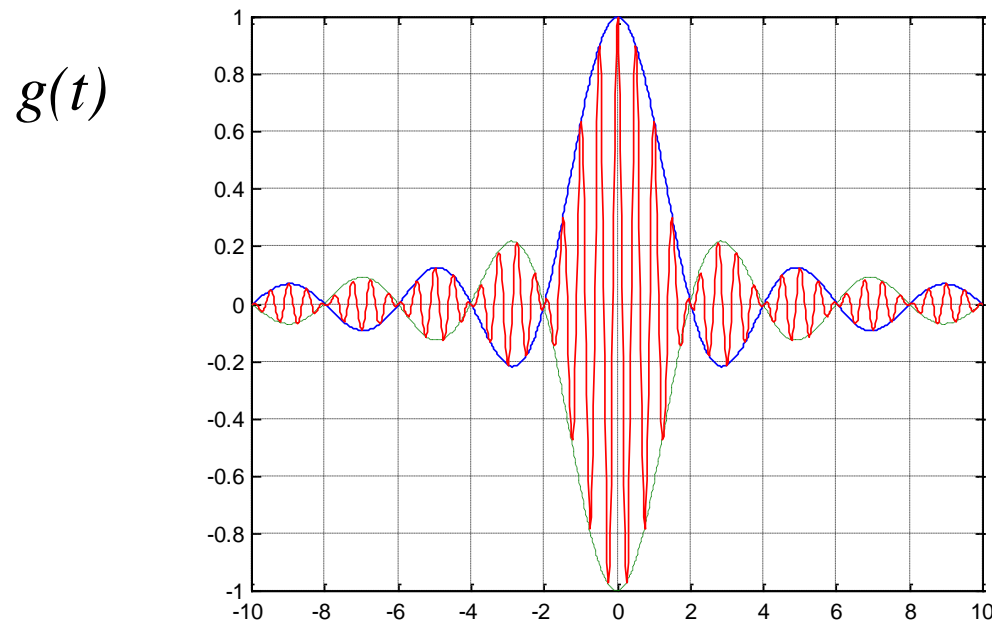
$$\Rightarrow G(u) = \Pi\left(\frac{u}{\Delta u}\right) * [\delta(u - u_0) + \delta(u + u_0)]$$

dove $u_0 = (u_1 + u_2)/2$ e $\Delta u = u_2 - u_1$

- La corrispondente risposta all'impulso è:

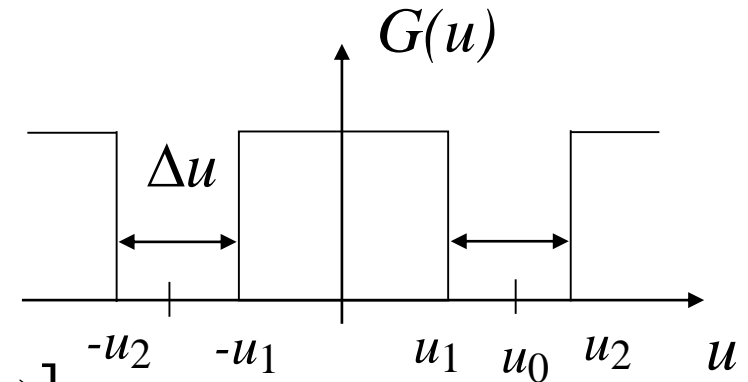
$$g(t) = 2\Delta u \frac{\sin(\pi t \Delta u)}{\pi t \Delta u} \cos(2\pi u_0 t)$$

- Poichè $\Delta u < u_0$, allora $g(t)$ è un coseno modulato dal *sinc*
- Se u_0 è costante e $\Delta u \rightarrow 0$, allora si ottiene un coseno



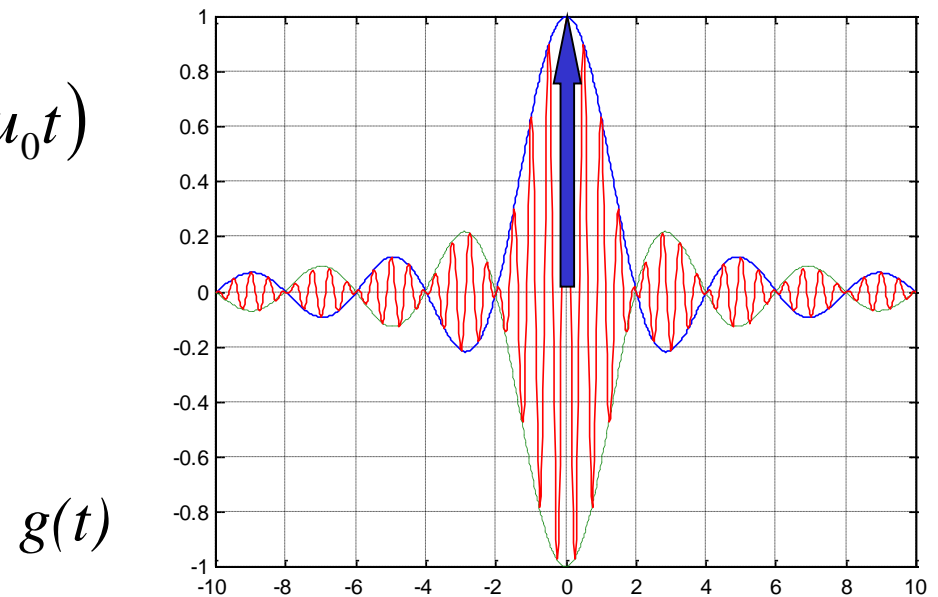
Filtro ideale ferma-banda

$$G(u) = \begin{cases} 0, & u_1 < |u| < u_2 \\ 1, & \text{altrove} \end{cases}$$



$$\Rightarrow G(u) = 1 - \Pi\left(\frac{u}{\Delta u}\right) * [\delta(u - u_0) + \delta(u + u_0)]$$

$$g(t) = \delta(t) - 2\Delta u \frac{\sin(\pi t \Delta u)}{\pi t \Delta u} \cos(2\pi u_0 t)$$



$$D(u, v) = \sqrt{(u - M/2)^2 + (v - N/2)^2}$$

IDEALE

$$H(u, v) = \begin{cases} 0 & \text{se } |D(u, v) - D_0| \leq W/2 \\ 1 & \text{altrimenti} \end{cases}$$

BUTTERWORTH

$$H(u, v) = \frac{1}{1 + \left(\frac{D(u, v)W}{D^2(u, v) - D_0^2} \right)^{2n}}$$

GAUSSIANO

$$H(u, v) = 1 - e^{-\left(\frac{D^2(u, v) - D_0^2}{D(u, v)W} \right)^2}$$

